

## زمان بندی انرژی وظایف بی درنگ موازی اولویت- ثابت در سیستم های سایبر- فیزیکی چند هسته ای

جمال محمدی<sup>۱\*</sup>، مهدی کارگهی<sup>۲</sup>، محمود شیرازی<sup>۳</sup>

\*نویسنده مسئول، دریافت: ۹۹/۰۶/۲۳، بازنگری: ۹۹/۰۷/۱۹، پذیرش: ۹۹/۰۹/۱۲

<sup>۱</sup>دانشجوی دکترا، دانشکده مهندسی برق و کامپیوتر، دانشگاه تهران، تهران، ایران

<sup>۲</sup>دانشیار، دانشکده مهندسی برق و کامپیوتر، دانشگاه تهران، تهران، ایران

<sup>۳</sup>استادیار، دانشکده علوم رایانه و فناوری اطلاعات، دانشگاه تحصیلات تکمیلی علوم پایه، زنجان، ایران

### چکیده

امروزه با افزایش نیاز محاسباتی سیستم های سایبر-فیزیکی، توجه به سیستم های چند هسته ای افزایش چشمگیر داشته است. نقش وظایف موازی که به صورت برنامه های چندنخی پیاده سازی می شوند در بهره گیری از امکانات پردازنده های چند هسته ای و پاسخ به نیازهای روزافزون محاسباتی بسیار پراهمیت است؛ در برخی موارد بدون استفاده از پردازش موازی امکان رعایت موعدهای زمانی وجود ندارد. از سوی دیگر، بسیاری از سیستم های سایبر-فیزیکی در مأموریت هایی به کار گرفته می شوند که آن ها را در دریافت انرژی محدود می سازد. در این سیستم ها باید با مدیریت مناسب انرژی ورودی، وظایف را به نحوی زمان بندی کرد که بتوان با توجه به بودجه انرژی تمامی موعدهای زمانی را رعایت نمود. در این مقاله، ابتدا تحلیلی از عدم قطعیت مصرف انرژی وظایف موازی ارائه می شود و سپس یک روش برای زمان بندی وظایف بی درنگ موازی اولویت- ثابت در سیستم های سایبر-فیزیکی چند هسته ای با محدودیت انرژی ارائه می گردد. نتایج آزمایش ها تأثیر مثبت موازی سازی وظایف در زمان بندی پذیری را نشان می دهد. به طوری که در الگوریتم ارائه شده با کاهش طول مسیر بحرانی به کمتر از ۴۰ درصد، زمان بندی پذیری وظایف به صورت چشمگیری افزایش می یابد.

**کلمات کلیدی:** زمان بندی، سیستم های بی درنگ، وظایف موازی، انرژی

### ۱- مقدمه

توسعه سریع فناوری های اطلاعاتی در دهه های گذشته منجر به دسترسی گسترده به سکوها محاسباتی نهفته و نیز قابلیت های ارتباطی در تقریباً همه انواع اشیا شده است. سیستم های سایبر فیزیکی (CPS) با ادغام هوش سایبری و دنیای فیزیکی امکان پاسخگویی به نیازهای فزاینده محاسباتی را فراهم کرده اند. این سیستم ها با در اختیار گذاشتن امکانات محاسباتی و ارتباطی کاربردهای مهمی نظیر سیستم های نظارتی، سیستم های حمل و نقل و تجهیزات هوشمند پزشکی را تحت پوشش قرار داده است [۱].

از سوی دیگر یکی از نیازمندی های اساسی سیستم های نهفته امکان به کار گیری آن ها در شرایطی است که عموماً محدودیت انرژی وجود دارد [۲]. بسیاری از این سیستم ها از نظر انرژی خودمختار بوده و انرژی خود را از محیط با استفاده از یک

برداشتگر انرژی دریافت کرده و سپس در یک مخزن میانگیر ذخیره می کنند. در برخی از چنین سیستم هایی دریافت انرژی با نرخ ثابت است و این محدودیت انرژی می تواند منجر به نقض قیود زمانی و شکست در زمان بندی وظایف شود [۲]. مسئله زمان بندی وظایف با محدودیت انرژی ورودی به سیستم در منابع مختلفی مورد بررسی قرار گرفته است [۳] [۴] [۵]. یک الگوریتم بهینه برای زمان بندی وظایف در سیستم های با نرخ انرژی ورودی ثابت، الگوریتم PFP<sub>ASAP</sub> [۶] است. در این الگوریتم که برای وظایف با اولویت ثابت طراحی شده است، اگر انرژی کافی برای اجرای حداقل یک واحد زمانی از پر اولویت ترین وظیفه وجود داشته باشد، این وظیفه سریعاً به اندازه یک واحد زمانی اجرا می شود. در غیر این صورت وظایف باید تا زمان ذخیره شدن انرژی به اندازه یک واحد از اجرای پر اولویت ترین وظیفه منتظر بمانند. بهینگی این الگوریتم نیز در حالت تک نخ و در شرایطی که میزان مصرف انرژی همه وظایف بالاتر از میزان تأمین انرژی است اثبات شده است [۷]. از آنجایی که در سیستم های سایبر-فیزیکی طیف گسترده ای از اطلاعات از حسگرها دریافت

## ۲- کارهای مرتبط

کارهای مرتبط در حوزه مدیریت انرژی در زمان‌بندی سیستم‌های سایبر-فیزیکی را می‌توان به دو دسته کلی الف) آگاه از انرژی<sup>۳</sup> و ب) بهینه‌سازی انرژی<sup>۴</sup> تقسیم کرد. در حوزه زمان‌بندی آگاه از انرژی هدف رعایت قیود زمانی با توجه به نرخ انرژی ورودی به سیستم است، ولی در حوزه بهینه‌سازی انرژی، هدف حداقل کردن مصرف انرژی است. هدف اصلی از پژوهش جاری زمان‌بندی آگاه از انرژی وظایف موازی است. در ادامه به مهم‌ترین کارهای انجام شده در این حوزه اشاره می‌گردد و پس از آن با توجه به اهمیت کارهای انجام شده در حوزه بهینه‌سازی مصرف انرژی، چند مورد مهم که از مدل وظایف موازی استفاده کرده‌اند نیز مورد توجه قرار می‌گیرند.

اولین پژوهش مهمی که در حوزه زمان‌بندی آگاه از انرژی به مسئله زمان‌بندی در سیستم‌هایی با برداشتن انرژی<sup>۵</sup> پرداخته است مقاله Allavena و همکاران [۱۰] است. در این تحقیق این مسئله تحت یک مدل مبتنی بر فریم حل شده است که تمام وظایف در آن دارای دوره یکسان هستند. در [۱۱] این مسئله با همین فرضیات بررسی شده است. سپس Moser و همکاران [۱۲] یک الگوریتم بهینه به نام LSA<sup>۶</sup> برای سیستم‌های تک پردازنده‌ای ارائه داده‌اند که در فرضیات آن‌ها امکان تغییر فرکانس پردازنده برای تنظیم بدترین زمان اجرای وظایف (WCET) در نتیجه تطابق با نرخ انرژی ورودی وجود دارد. البته در [۱۳] نشان داده شده است که این فرضیات واقع بینانه نیست. همچنین در [۱۴] Chetto و همکاران چند الگوریتم غیب‌گو<sup>۷</sup> و چند الگوریتم مکاشفه‌ای برای حل این مسئله در حالت تک پردازنده‌ای ارائه کرده‌اند. ایده اصلی الگوریتم ارائه شده در [۱۴] بر این سیاست استوار است که تا زمانی که سیستم بتواند بدون شکست انرژی عمل کند از یک سیاست نظیر EDF<sup>۸</sup> برای زمان‌بندی استفاده می‌شود و در صورتی که شکست انرژی در آینده شناسایی شود سیستم تا جای ممکن و تا پر شدن مخزن ذخیره‌سازی انرژی متوقف می‌شود. همچنین یکی از الگوریتم‌های مطرح شده در [۱۴] الگوریتم PFPALAP<sup>۹</sup> است که اجرای وظایف را تا جای ممکن به تأخیر می‌اندازد. در مقابل در [۱۵] بهینه‌گی الگوریتم PFPALAP به چالش کشیده شده و با ارائه مثالی عدم بهینه‌گی آن نشان داده شده است. در این مقاله الگوریتم دیگری به نام PFPALAP معرفی شده به طوری که در این الگوریتم اجرای وظایف به محض وجود انرژی کافی انجام می‌شوند و برعکس PFPALAP، تا زمانی که که انرژی کافی وجود داشته باشد، اجرای هیچ وظیفه‌ی به تأخیر نمی‌افتد. بهینه‌گی این الگوریتم در [۷] اثبات شده است. در [۱۶] حالتی که مخزن ذخیره‌سازی غیر بهینه است مورد بررسی قرار گرفته و یک الگوریتم بهینه مبتنی بر PFPALAP برای زمان‌بندی ارائه شده است. در [۱۷] برای حداکثر کردن کارایی در سیستم‌های  $(m, k) - \text{firm}$  با نرخ انرژی متغیر روشی ارائه شده که با سوئیچ کردن بین سطوح مختلف کارایی نسبت به تغییرات نرخ انرژی واکنش نشان می‌دهد. در اینجا نیز سیستم مورد نظر یک سیستم تک هسته‌ای بوده و مدل وظایف آن نیز بر اساس یک سیستم تک‌هسته‌ای در نظر گرفته شده است.

در حوزه بهینه‌سازی مصرف انرژی در سیستم‌های بی‌درنگ با وظایف موازی در [۱۸] زمان‌بندی وظایف موازی بی‌درنگ سخت با هدف حداقل کردن مصرف توان پردازنده بررسی شده و در آن برای به حداقل رساندن انرژی مصرفی کل، تنظیم پویای سرعت هسته‌ها در حین برآوردن تمامی موعدهای زمانی مورد بررسی قرار گرفته است. در تحقیق دیگری، در [۱۹] زمان‌بندی آگاه از انرژی وظایف موازی در سیستم‌های چند هسته‌ای ناممکن مورد بررسی قرار گرفته و به وظایف اجازه داده شده تا به چندین وظیفه فرعی موازی تقسیم شوند. تعداد وظایف فرعی نیز در حین زمان‌بندی به دست می‌آیند و هدف اصلی آنها نیز به حداقل رساندن مصرف انرژی تحت محدودیت‌های مرتبط با موعدهای زمانی است. در [۲۰] هم یک الگوریتم دو مرحله‌ای برای زمان‌بندی موثر وظایف موازی در مراکز داده سبز ارائه شده است که از مدل وظایف موازی متفاوتی برای زمان‌بندی در قالب ماشین‌های مجازی استفاده می‌نماید.

می‌شود، سیستم باید قادر به پردازش همگی آن‌ها باشد. وظایف موجود در این سیستم‌ها (نظیر برنامه‌های مرتبط با بینایی کامپیوتری، تشخیص الگو، برنامه‌ریزی حرکتی) دارای نیاز محاسبات بسیار زیاد هستند و این نیاز محاسباتی روزبه‌روز به دلیل استفاده از الگوریتم‌های دقیق‌تر، پرداختن به جزئیات بیشتر (به عنوان مثال استفاده از تصاویر با تفکیک‌پذیری بالاتر در بینایی ماشین [۸]) و غیره در حال افزایش است تا جایی که رسیدن به موعدهای زمانی چنین سیستم‌هایی با استفاده از سیستم‌های تک پردازنده‌ای و محاسبات تک نخ امکان‌پذیر نیست. در چنین شرایطی نیاز به موازی‌سازی وظایف و استفاده از پردازنده‌های چند هسته‌ای وجود دارد. در حوزه زمان‌بندی وظایف موازی، یکی از روش‌های ایده آل که فارغ از جزئیات چند نخ وظایف را به درستی زمان‌بندی می‌کند، الگوریتم زمان‌بندی فدرال [۹] است. در این روش تنها با داشتن مجموع زمان اجرا، طول مسیر بحرانی و موعد وظیفه، حداقل تعداد هسته‌های لازم برای رسیدن به موعد زمانی محاسبه شده و پس از آن به ازای هر یک از وظایف پردازنده اختصاصی تخصیص داده می‌شود.

در این مقاله به بررسی مسئله زمان‌بندی وظایف موازی اولویت ثابت در سیستم‌هایی با نرخ انرژی ورودی ثابت می‌پردازیم. برای این کار از روش زمان‌بندی فدرال استفاده می‌شود و تعداد هسته‌های اختصاصی هر یک از وظایف به نحوی تعیین می‌شود که امکان جبران تأخیر زمانی ناشی از تأمین انرژی وظایف پراولویت‌تر با موازی‌سازی بیشتر وجود داشته باشد. سپس با استفاده از یک الگوریتم مشابه PFPALAP زمان‌بندی آگاه از انرژی انجام می‌شود. برای زمان‌بندی وظایف در این الگوریتم نیاز است که انرژی مورد نیاز یک وظیفه موازی در هر واحد زمانی مشخص شود. با توجه به اینکه در وظایف موازی تا قبل از زمان اجرا اطلاعی در مورد نحوه استفاده از هسته‌ها و در نتیجه نحوه مصرف انرژی وجود ندارد، باید تأمین انرژی نیز با در نظر گرفتن بدترین حالت‌ها انجام شود. به همین منظور در این مقاله تحلیلی از بدترین حالت درخواست انرژی در وظایف موازی نیز ارائه شده است. بر اساس اطلاعات ما این اولین باری است که زمان‌بندی وظایف موازی در سیستم‌های چند هسته‌ای بی‌درنگ با محدودیت انرژی ورودی مورد مطالعه قرار می‌گیرد.

نوآوری‌های این مقاله به صورت زیر است:

- ارائه یک تحلیل از بدترین حالت درخواست انرژی در وظایف موازی در الف) حالت عادی، ب) با در نظر گرفتن کران بالای زمان اجرای وظایف موازی.
- ارائه روشی برای محاسبه ظرفیت باتری اختصاصی برای هر وظیفه موازی.
- ارائه روشی برای محاسبه تعداد هسته‌های اختصاصی وظایف موازی با در نظر گرفتن تأخیر دریافت انرژی بر زمان اجرای وظایف.
- ارائه یک الگوریتم زمان‌بندی برای وظایف موازی با توجه به نرخ انرژی ورودی ثابت.

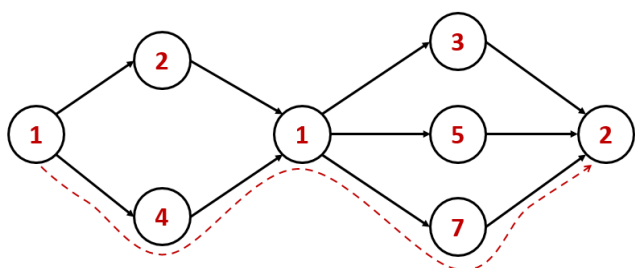
در ادامه ساختار مقاله به صورت زیر سازمان‌دهی شده است: در بخش ۲ مقالات مرتبط با زمان‌بندی وظایف و مدیریت انرژی مورد بررسی قرار گرفته است. در بخش ۳ توضیحاتی در مورد پارامترهای مهم وظایف موازی ارائه شده است. مدل سیستم در بخش ۴ معرفی شده است. در بخش ۵ زمان‌بندی فدرال معرفی شده است. در بخش ۶ تحلیل بدترین حالت درخواست انرژی<sup>۲</sup> ارائه شده است. در این بخش ابتدا بدترین حالت درخواست انرژی در وظایف موازی معرفی شده و پس از آن تحلیل دیگری با در نظر گرفتن کران بالای اجرای وظایف موازی معرفی شده است. در بخش ۷ به زمان‌بندی آگاه از انرژی وظایف موازی پرداخته شده است. در این قسمت ابتدا نحوه محاسبه تأخیر تأمین انرژی هر یک از وظایف موازی معرفی می‌شود و پس از آن تعداد هسته هر وظیفه به نحوی تعیین می‌شود که این تأخیر جبران شود. در انتهای این بخش الگوریتم زمان‌بندی ارائه شده است. در بخش ۸ نیز کارایی روش ارائه شده با استفاده از آزمایش‌ها مورد بررسی قرار گرفته و نتایج آن با حالت بهینه مقایسه شده است.

(۲) DAG مربوط به وظیفه شکل (۱) آمده است. در این شکل مجموع زمان اجرا برابر است با  $C = 25$ .

برای تحلیل زمان بندی وظایف نیاز به آگاهی از طول زمان اجرای وظایف بر روی  $m$  هسته‌های است که بر روی آن در حال اجراست. یک روش برای اینکار استفاده از قانون Amdahl [۲۵] است. به این صورت که اگر مجموع زمان اجرای تمامی رأس‌ها (بر روی تنها یک هسته) برابر با  $C$  باشد و  $f \in [0, 1]$  نسبت<sup>۱۵</sup> بخش سریال برنامه مورد نظر باشد، بر اساس قانون Amdahl زمان اجرای موازی این برنامه بر روی  $m$  هسته برابر خواهد بود با:

$$C \cdot f + C \cdot \left( \frac{1-f}{m} \right) \quad (۱)$$

استفاده از این قانون به خوبی زمان اجرای وظایف را مشخص می‌کند ولی در این روش نیاز به اطلاع از اندازه بخش سریال برنامه است که معمولاً اندازه‌گیری آن به راحتی امکان پذیر نیست [۲۶]. یک روش جایگزین در تحلیل‌های زمان اجرا (به جای اندازه‌گیری بخش سری و موازی) استفاده از پارامتر مسیر بحرانی<sup>۱۶</sup> است که در ادامه به آن می‌پردازیم.



شکل ۲-۲ DAG مربوط به برنامه شکل (۱). هر رأس نشان‌دهنده یک نخ و اعداد داخل هر رأس نشان‌دهنده زمان اجرای آن‌ها است. مجموع زمان اجرا برابر با ۲۵ و طول مسیر بحرانی (مشخص شده با خط تیره) ۱۵ است.

### ۳-۲- مسیر بحرانی

معیار مهم دیگری که در تحلیل زمان اجرای وظایف موازی از آن استفاده می‌شود، مفهوم مسیر بحرانی است. مسیر بحرانی طولانی‌ترین مسیر در DAG وظیفه مورد نظر است و به اندازه آن طول مسیر بحرانی گفته می‌شود و با  $L$  نشان داده می‌شود. به عنوان مثال، DAG وظیفه شکل (۲) را در نظر بگیرید. مسیر بحرانی در این DAG برابر است با اندازه طولانی‌ترین مسیر موجود یعنی  $L = 1 + 4 + 1 + 7 + 2 = 15$ . البته ممکن است طولانی‌ترین مسیر در یک DAG یکتا نباشد. در این شرایط فقط اندازه مسیر بحرانی در تحلیل زمان اجرا مورد نیاز خواهد بود و نه مسیر دقیق آن.

دو پارامتر مجموع زمان اجرا  $C$  و طول مسیر بحرانی  $L$  در زمان بندی وظایف اهمیت فراوانی دارند چراکه پارامتر  $C$  برابر است با زمان اجرا وظیفه مورد نظر بر روی تنها یک هسته و پارامتر  $L$  نشان دهنده زمان اجرای همین وظیفه بر روی بی‌نهایت هسته است. برای اندازه‌گیری هر دو پارامتر نیز ابزارهای مناسبی وجود دارد. به عنوان مثال هر دو پارامتر مورد نظر در برنامه‌های نوشته شده با Cilk Plus با ابزارهای Cilkview [۲۶] و Cilkprof [۲۷] قابل اندازه‌گیری هستند.

در ادامه برای تحلیل وظایف موازی تنها از دو پارامتر مجموع زمان اجرا و طول مسیر بحرانی استفاده می‌شود. با در نظر گرفتن مفهوم وظایف موازی و مسیر بحرانی، در بخش بعد، مدل سیستم مورد نظر در این پژوهش توضیح داده می‌شود.

بر اساس اطلاعات ما، این مقاله نخستین مقاله‌ای است که زمان بندی آگاه از انرژی و وظایف موازی در سیستم‌های چند هسته‌ای بی‌درنگ با محدودیت انرژی ورودی را مورد مطالعه قرار می‌دهد. لازم به ذکر است که مسئله زمان بندی وظایف موازی بر روی سیستم‌های چند هسته‌ای در کلاس مسائل NP-hard قرار می‌گیرد [۲۱]. برای غلبه بر پیچیدگی مسئله در این مقاله از روش زمان بندی فدرال [۹] برای زمان بندی وظایف استفاده شده است. به این صورت که حداقل تعداد هسته‌های لازم به صورت اختصاصی به هر کدام از وظایف موازی تخصیص داده می‌شود. در نتیجه در این حالت رقابت زمانی<sup>۱۱</sup> بین وظایف وجود ندارد و فقط به زمان بندی انرژی وظایف پرداخته شده است. علاوه بر این، هدف از این مقاله، بهینه‌سازی (تعداد هسته‌ها یا مصرف انرژی) نیست و از یک روش مکاشفه‌ای برای زمان بندی استفاده شده است. پس از معرفی مدل سیستم، مسئله به صورت دقیق و رسمی در بخش ۳-۴ معرفی خواهد شد.

### ۳- وظایف موازی

در طول دهه گذشته افزایش کارایی تراشه‌های پردازنده‌ها عمدتاً ناشی از افزایش تعداد هسته‌ها بوده است. این امر منجر به تحقیقات گسترده‌ای در توسعه زبان‌های موازی و سیستم‌های زمان اجرا برای بهره‌برداری از توان پردازشی چند هسته‌ای شده است. این تحقیقات منجر به توسعه زبان‌ها و کتابخانه‌های موازی نظیر Cilk [۲۲]، Intel Cilk Plus [۲۳]، IBM X10 [۲۴] و غیره شده‌اند. در این زبان‌ها برنامه‌نویس الگوریتم‌های موازی را از طریق ساختارهای زبانی موازی نظیر spawn، join، fork، sync یا parallel-for توسعه می‌دهد.

<code>// Do some sequential work</code> <code>foo();</code>	Sequential
<code>// Do the first parallel segment</code> <code>parallel_for (i=1; i &lt;= 2; i++) {</code> <code>  firstfunc(i);</code> <code>}</code>	Parallel
<code>// Other sequential work</code> <code>bar();</code>	Sequential
<code>// Do the second parallel segment</code> <code>parallel_for (i=1; i &lt;= 3; i++) {</code> <code>  second_func(i);</code> <code>}</code>	Parallel
<code>// The last sequential work</code> <code>baz();</code>	Sequential

شکل ۱- یک نمونه کد که شامل بخش‌های موازی و سری است.

در ادامه این بخش ابتدا مفهوم قسمت سری و موازی وظایف بیان شده و سپس مفهوم مسیر بحرانی توضیح داده می‌شود. این مفاهیم در تحلیل زمان اجرا و نیز تعیین تعداد هسته‌های هر وظیفه استفاده خواهند شد.

### ۳-۱- بخش سری و موازی وظایف

برنامه‌های توسعه یافته با زبان‌ها و کتابخانه‌های موازی شامل بخش موازی و بخش سری هستند. در شکل (۱) یک نمونه از برنامه‌های موازی آمده است. همان‌طور که در این شکل مشاهده می‌شود این برنامه‌ها شامل بخش‌های موازی و سری هستند. به چنین برنامه‌هایی یک وظیفه<sup>۱۱</sup> موازی می‌گوییم.

هر وظیفه موازی می‌تواند به صورت یک گراف جهت‌دار بدون دور یا DAG<sup>۱۲</sup> مدل سازی شود که در آن هر رأس نشان‌دهنده یک نخ است و هر یال نشان‌دهنده رابطه تقدم<sup>۱۴</sup> بین رأس‌ها است. یک رأس وقتی آماده اجرا است که همه رأس‌های مقدم بر آن اجرا شده باشند. در هر DAG اعداد داخل هر رأس زمان اجرای آن رأس را نشان می‌دهد. مجموع زمان اجرا (بر روی تنها یک هسته) که با پارامتر  $C$  مشخص می‌شود، برابر با مجموع زمان اجرای تمامی رأس‌های آن است. در شکل

## ۴- مدل سیستم

در این پژوهش سیستم مورد نظر یک سیستم چندپردازنده‌ای با برداشتگر انرژی است. یک مثال کاربردی می‌تواند یک گره «توان صفر<sup>۱۷</sup>» در یک شبکه حسگر بی‌سیم باشد. منظور از گره «توان صفر» گره‌ای است که کاملاً از نظر انرژی خودمختار است و همه انرژی لازم را از محیط، به‌عنوان مثال انرژی خورشید، لرزش، اختلاف دما برداشت می‌کند. وظایف این سیستم به‌صورت چندنخی هستند و قابلیت اجرا بر روی چندین هسته را دارند. به هر یک از این وظایف چند نخ می‌دهیم که به آن‌ها وظایف موازی می‌گوییم چندین هسته به‌صورت اختصاصی تخصیص می‌یابد. فرض بر این است که سکوی پردازشی دارای  $n_{total}$  هسته پردازشی یکسان<sup>۱۸</sup> است که تمامی هسته‌ها دارای سرعت ثابت و برابر هستند. در جدول (۱) توصیف خلاصه‌ای از متغیرها آمده است.

در ادامه مدل سیستم شامل مدل وظایف، انرژی و مخزن ذخیره‌سازی انرژی را معرفی نموده و در انتهای این بخش مسئله مورد نظر را به‌صورت رسمی تعریف می‌کنیم.

جدول (۱) توصیف متغیرها

متغیر	توصیف
$\tau$	مجموعه وظایف سیستم
$\tau_i$	وظیفه $i$ ام
$C_i$	مجموع زمان اجرای وظیفه $\tau_i$
$L_i$	طول مسیر بحرانی اجرای وظیفه $\tau_i$
$D_i$	بیانگر هر دوی موعد و زمان حداقلی بین-ورود وظیفه $\tau_i$
$p_i$	نرخ مصرف انرژی (یا توان مصرفی) وظیفه $\tau_i$ با یک هسته
$u_i$	بهره‌وری وظیفه $\tau_i$
$f_i$	نسبت بخش سریال وظیفه $\tau_i$
$n_i$	تعداد هسته‌های وظیفه $\tau_i$
$n_{total}$	مجموع تعداد هسته‌های موجود در سکوی پردازشی
$P_r$	نرخ دریافت انرژی از محیط
$B_{max}$	حداکثر ظرفیت مخزن ذخیره‌سازی انرژی
$B$	میزان انرژی موجود در مخزن ذخیره‌سازی در لحظه جاری
$n_i^{min}$	حداقل تعداد هسته‌های لازم برای رعایت موعد وظیفه $\tau_i$
$\varphi(s)$	حداقل میزان تخصیص انرژی در گام $s$ به وظیفه $\tau_i$
$\omega(s)$	ظرفیت مخزن ذخیره‌سازی اختصاصی وظیفه $\tau_i$
$pd_i(t)$	درخواست پردازشی وظایف پر اولویت‌تر از وظیفه $\tau_i$ در بازه زمانی $[0, t]$
$ed_i(t)$	درخواست انرژی وظایف پر اولویت‌تر از وظیفه $\tau_i$ در بازه زمانی $[0, t]$
$wd_i(t)$	زمانی که برای تأمین انرژی وظایف پر اولویت‌تر از وظیفه $\tau_i$ و خود وظیفه $\tau_i$ نیاز است.

## ۴-۱- مدل وظایف

در این سیستم مجموعه وظایف  $\tau$  شامل  $n$  وظیفه موازی پراکنده<sup>۱۹</sup> به‌صورت  $\{\tau_1, \tau_2, \dots, \tau_n\}$  است که هر وظیفه  $\tau_i$  شامل چندتایی زیر است:

$$(C_i, L_i, D_i, p_i)$$

- $C_i$  نشان‌دهنده مجموع زمان اجرای وظیفه  $\tau_i$  است.
- $L_i$  نشان‌دهنده طول مسیر بحرانی اجرای وظیفه  $\tau_i$  است.
- $D_i$  بیانگر هر دوی موعد<sup>۲۰</sup> و زمان حداقلی بین-ورود است (موعد ضمنی<sup>۲۱</sup>).

•  $p_i$  نرخ مصرف انرژی (یا توان مصرفی) وظیفه  $\tau_i$  با یک هسته است. در مدل فوق  $C_i$  بیانگر زمان اجرای وظیفه  $\tau_i$  با بی‌نهایت هسته است. همچنین در زمان ورود هر یک از وظایف اطلاعاتی از نحوه استفاده آن از هسته‌ها در هر لحظه وجود ندارد و این موضوع در زمان اجرا مشخص می‌شود. به هر نمونه‌ای از وظیفه  $\tau_i$  نیز یک کار<sup>۲۲</sup> گفته می‌شود. فرض بر این است که وظایف دارای اولویت ثابت هستند و وظیفه با اندیس کوچک‌تر دارای اولویت بالاتری است. یعنی در صورتی که دو وظیفه  $\tau_i$  و  $\tau_j$  به‌صورتی که  $i < j$  داشته باشیم آنگاه  $\tau_i$  دارای اولویت بالاتری است.

$$u_i = \frac{C_i}{D_i} \quad (2)$$

فرض بر این است که این وظایف به دلیل حجم محاسبات بالا دارای بهره‌وری (نسبت زمان اجرا به موعد) بزرگ‌تر از یک هستند یعنی:

$$\frac{C_i}{D_i} \geq 1 \quad (3)$$

در این حالت در صورت تخصیص تنها یک هسته به این وظیفه قبل از رسیدن این وظیفه به موعد، نمونه دیگری از این وظیفه ورود<sup>۲۴</sup> کرده است و در نتیجه تخصیص یک هسته برای رعایت موعد کافی نیست.

هر وظیفه  $\tau_i$  دارای مجموع زمان اجرا و طول مسیر بحرانی مشخص است. با فرض ثابت بودن تعداد هسته‌های تخصیص یافته به این وظیفه، به دلیل عدم قطعیت در نحوه اجرای DAG یک وظیفه موازی و نیز مشخص شدن مسیرهای اجرایی DAG در زمان اجرا (به دلیل وجود شرطها و حلقه‌ها در برنامه)، شاهد زمان‌های اجرای متفاوتی به ازای هر یک از کارهای یک وظیفه خواهیم بود. به‌عبارت‌دیگر با ثابت بودن پارامترهای  $C_i, L_i$  و تعداد هسته‌ها، زمان اجرای هر کار از وظیفه  $\tau_i$  می‌تواند متفاوت باشد. با وجود این دو کران زیر را می‌توان برای زمان اجرا مشخص کرد:

لم ۱) کران بالای زمان اجرای وظیفه  $\tau_i$  با  $m$  هسته برابر خواهد بود با:

$$\left\lceil \frac{C_i - L_i}{m} \right\rceil + L_i \quad (4)$$

اثبات:

اگر  $f_i$  بخش سری وظیفه  $\tau_i$  و  $L_i$  طول مسیر بحرانی آن باشد رابطه زیر همواره برقرار است:

$$f_i \cdot C_i \leq L_i$$

در نتیجه خواهیم داشت:

$$f_i \cdot C_i \leq L_i \Rightarrow \frac{C_i - f_i \cdot C_i}{m} + f_i \cdot C_i \leq \left\lceil \frac{C_i - L_i}{m} \right\rceil + L_i$$

حال با توجه به اینکه طبق قانون Amdahl فرمول  $\frac{C_i - f_i \cdot C_i}{m} + f_i \cdot C_i$  یک کران بالا برای زمان اجرای وظیفه  $\tau_i$  با  $m$  هسته است،  $\left\lceil \frac{C_i - L_i}{m} \right\rceil + L_i$  نیز یک کران بالا برای آن خواهد بود. ■

لم ۲) کران پایین زمان اجرای وظیفه  $\tau_i$  بر روی  $m$  هسته برابر است با:

$$\max \left\{ \left\lceil \frac{C_i}{m} \right\rceil, L_i \right\} \quad (5)$$

اثبات:

کران پایین زمان اجرای وظیفه  $\tau_i$  همواره  $L_i$  است و زمان اجرا حتی با بی‌نهایت هسته نیز از  $L_i$  کوچک‌تر نخواهد بود. در شرایطی که وظیفه  $\tau_i$  شامل  $m$  نخ مستقل و موازی باشد زمان اجرا برابر با  $\left\lceil \frac{C_i}{m} \right\rceil$  خواهد بود به شرطی که مقدار  $\left\lceil \frac{C_i}{m} \right\rceil$  کوچک‌تر از  $L_i$  نباشد. لازم به تأکید است که در فرمول (۵) به دلیل وجود تابع  $\max$  کران پایین زمان اجرا هیچگاه کوچک‌تر از  $L_i$  نخواهد بود. ■

هر یک از راس‌های DAG وظیفه  $\tau_i$  آماده اجرا باشد و منابع کافی برای اجرای آن وجود داشته باشد راس مورد نظر اجرا خواهد شد. در ادامه این بخش ابتدا زمان‌بند حریصانه و سپس نحوه تعیین تعداد هسته‌های هر وظیفه توضیح داده می‌شود.

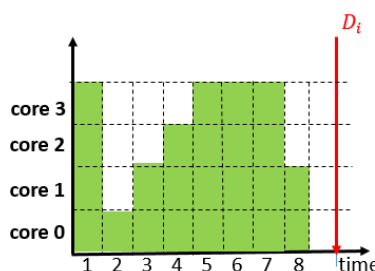
### ۵-۱- زمان‌بند حریصانه

پرسشی که در این قسمت وجود دارد این است که حال با داشتن پارامترهای  $C_i$ ،  $L_i$  نحوه اجرای وظیفه  $\tau_i$  در داخل مجموعه هسته‌های اختصاصی خود چگونه خواهد بود و در هر لحظه چه تعداد از هسته‌های اختصاصی آن در حال اجرای وظیفه  $\tau_i$  خواهند بود و چه تعداد از آن‌ها بیکار خواهند بود؟ برای پاسخ دادن به این پرسش‌ها ابتدا چند تعریف ارائه می‌شود و پس از آن با استفاده از یک لم به این پرسش پاسخ داده می‌شود.

در این سیستم زمان به بازه‌های گسسته برابری به اسم گام  $\tau$  تقسیم شده است. هر واحد زمانی برای هر کار نیز یک گام است. در هر یک از گام‌ها یک هسته می‌تواند بیکار  $\tau$  باشد یا یک واحد از کار را انجام دهد. گوییم یک گام به شرطی **کامل** است که هیچ‌کدام از هسته‌های وظیفه  $\tau_i$  در آن بیکار نباشند، در غیر اینصورت آن گام **غیر کامل** است. یک زمان‌بند حریصانه در صورت وجود کار آماده اجرا یک هسته را بیکار باقی نمی‌گذارد. در شکل (۳) یک مثال از گام‌های کامل و غیر کامل یک وظیفه آمده است.

**لم ۳** زمانی که وظیفه  $\tau_i$  توسط یک زمان‌بند حریصانه اجرا می‌شود، هر گام **غیر کامل** یک واحد از طول مسیر بحرانی  $L_i$  کم می‌کند [۹].

لم ۳ حالت‌های ممکن برای اجرای وظیفه  $\tau_i$  را تبیین می‌کند. بر اساس این لم، در طول اجرای وظیفه  $\tau_i$  حداکثر به تعداد  $L_i$  گام غیر کامل وجود خواهد داشت و بقیه گام‌ها الزاماً کامل هستند. لذا، علی‌رغم غیرقطعی بودن نحوه اجرای هر وظیفه بر روی هسته‌های اختصاصی خود، همچنان می‌توان حالت‌های ممکن و غیرممکن را برای نحوه اجرا در نظر گرفت. به عنوان مثال، اگر در شکل ۳ اندازه مسیر بحرانی برابر با ۴ باشد، این شکل یک تصور ممکن از نحوه اجرای وظیفه مورد نظر بر روی هسته‌های اختصاصی خود خواهد بود. ولی در صورتی که اندازه مسیر بحرانی برابر با ۳ باشد، این نحوه اجرا امکان‌پذیر نخواهد بود چرا که بر اساس لم ۳ تعداد گام‌های غیر کامل نمی‌تواند بزرگتر از طول مسیر بحرانی باشد. در ادامه، در بخش ۶ از مفهوم گام‌های کامل و غیر کامل برای تحلیل بدترین حالت مصرف انرژی نیز استفاده خواهیم کرد.



شکل ۳- مثالی از گام‌های کامل و غیر کامل در زمان اجرای یک وظیفه روی چهار هسته. گام‌های ۱, ۵, ۶, ۷ کامل و گام‌های ۲, ۳, ۴, ۸ غیر کامل هستند.

### ۵-۲- تعیین تعداد هسته‌های هر وظیفه

$L_i$  و همکاران در [۹] نشان داده‌اند که اگر به وظیفه موازی  $\tau_i$  با موعد ضمنی  $D_i$  تعداد  $n_i^{min}$  هسته اختصاصی تخصیص یابد که:

$$n_i^{min} = \left\lceil \frac{C_i - L_i}{D_i - L_i} \right\rceil \quad (7)$$

در فرمول (۴) در صورتی که  $m$  بی‌نهایت باشد زمان اجرا برابر با  $L_i$  و در صورتی که  $m = 1$  باشد زمان اجرا برابر با  $C_i$  خواهد بود. در ادامه از فرمول (۴) به عنوان کران بالای زمان اجرا استفاده می‌شود.

### ۴-۲- مدل انرژی

در این قسمت از مدل انرژی مشابه [۲۸] استفاده می‌شود. فرض بر این است که تابع دریافت انرژی از محیط به صورت  $P_r(t)$  است. این تابع یک تابع ثابت است یعنی  $P_r(t) = P_r$ . بنابراین انرژی با نرخ ثابت  $P_r$  وارد سیستم می‌شود و مجموع انرژی دریافت شده از محیط در بازه زمانی  $[t_1, t_2]$  برابر است با:

$$(t_2 - t_1) \times P_r \quad (6)$$

در ادامه به جای تابع  $P_r(t)$  از  $P_r$  استفاده می‌کنیم. با توجه به اینکه وظایف موازی هستند و می‌توانند با تعداد هسته‌های متفاوتی اجرا شوند، بنابراین در درجه اول نرخ مصرف انرژی هر وظیفه بستگی به تعداد هسته‌های تخصیص یافته به آن وظیفه دارد. فرض زیر در مورد مصرف انرژی هر وظیفه وجود دارد:

**فرض ۱** فرض بر این است که توان مصرفی وظیفه  $\tau_i$  با یک هسته برابر  $p_i$  و با  $m$  هسته برابر است با  $m \times p_i$

در اینجا بر اساس فرض ۱ انرژی ایستای هسته‌ها و سربار انرژی انتقال کدها و داده‌ها بین هسته‌ها ناچیز در نظر گرفته شده است. به طور دقیق‌تر، فرض شده است که موارد فوق در پارامتر  $p_i$  لحاظ شده است

علاوه بر این، سیستم دارای مخزن ذخیره‌سازی انرژی با حداکثر ظرفیت  $B_{max}$  است. در هر لحظه، میزان انرژی موجود در مخزن ذخیره‌سازی  $B$  نشان داده می‌شود. فرض بر این است که مشابه [۲۹] زمان‌های ذخیره‌سازی انرژی و مصرف انرژی ممکن است همپوشانی نیز داشته باشند.

### ۴-۳- تعریف مسئله

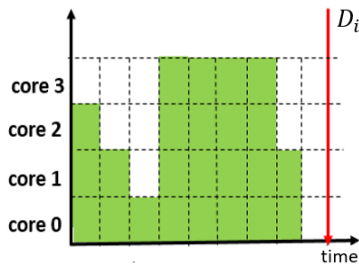
مسئله مورد بررسی در این مقاله به این شرح است:

"ارائه یک زمان‌بندی برای مجموعه وظایف  $\tau$  با نرخ انرژی ورودی ثابت  $P_r$ ، به نحوی که تمامی وظایف  $\tau$  موعد خود را رعایت کنند."

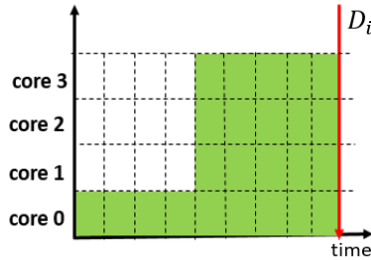
در ادامه، برای حل مسئله تعریف شده ابتدا جزئیات بیشتری در مورد نحوه اجرای وظایف موازی در هسته‌های اختصاصی معرفی می‌شود. سپس نحوه مصرف انرژی وظایف موازی بررسی شده و نحوه تأمین انرژی در بدترین حالت معرفی می‌گردد. پس از آن، روشی برای تعیین تأخیر تأمین انرژی وظایف موازی ارائه شده و با افزایش تعداد هسته‌ها سعی می‌شود که این تأخیر جبران شود. پس از تمامی این موارد الگوریتم مورد نظر برای زمان‌بندی انرژی وظایف موازی معرفی شده و در نهایت نتایج آن در بخش آزمایش‌ها با الگوریتم بهینه مقایسه می‌شود.

### ۵- زمان‌بندی فدرال

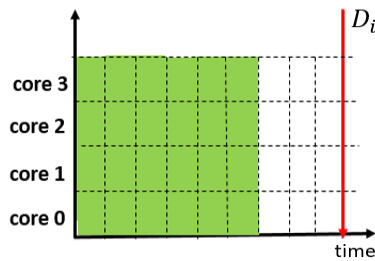
همان‌طور که اشاره شد وظایف دارای بهره‌وری بزرگ‌تر از یک هستند و تخصیص یک هسته برای رسیدن آن‌ها به موعد کافی نیست. در این حالت از یک روش زمان‌بندی فدرال استفاده می‌شود. در این روش زمان‌بندی حداقل تعداد هسته‌های لازم به صورت اختصاصی به هر وظیفه تخصیص داده می‌شود. یعنی یک هسته اختصاص داده شده به یک وظیفه حتی در صورت بیکاری نیز به وظیفه دیگری تخصیص داده نمی‌شود. هر وظیفه داخل مجموعه هسته‌های اختصاصی خود با استفاده از یک زمان‌بند حریصانه زمان‌بندی می‌شود. به این معنی که هر زمان که



(الف)



(ب)



(ج)

شکل ۴- حالت های مختلف استفاده وظیفه موازی مثال (۱) از هسته ها. الف- زمان اجرا ۸ واحد ب- زمان اجرا ۹ واحد ج- زمان اجرا ۶ واحد.

بر اساس قضیه ۱ برای اجرای موفقیت آمیز وظیفه  $\tau_i$  که تعداد  $m$  هسته به آن تخصیص یافته باید در  $\left\lfloor \frac{C_i}{m} \right\rfloor$  گام اول در هر گام به اندازه  $m$  واحد انرژی تأمین شود. با توجه به اینکه در این حالت زمان اجرا برابر با  $\left\lfloor \frac{C_i}{m} \right\rfloor$  خواهد شد و نیز با توجه به بدترین زمان اجرای وظایف که برابر است با  $L_i + \left\lfloor \frac{C_i - L_i}{m} \right\rfloor$ ، به این نتیجه می رسیم که این روش تخصیص انرژی بسیار بدبینانه است و می توان آن را با توجه به قضیه ۲ (که در ادامه آمده است) بهبود داد و آن را با توجه به فرصت موجود تا زمان  $L_i + \left\lfloor \frac{C_i - L_i}{m} \right\rfloor$  (کران بالای زمان اجرا) تنظیم کرد.

**قضیه ۲** حداقل میزان تخصیص انرژی در گام  $s$  به وظیفه  $\tau_i$  با  $m$  هسته، به شرطی که  $\left\lfloor \frac{C_i}{m} \right\rfloor \geq L_i$  باشد و با در نظر گرفتن فرصت تأمین انرژی تا زمان  $L_i + \left\lfloor \frac{C_i - L_i}{m} \right\rfloor$  برابر است با  $\varphi(s)$  که تابع  $\varphi$  به صورت زیر است:

$$\varphi(s) = \begin{cases} m & s \leq \left\lfloor \frac{C_i - L_i}{m} \right\rfloor \\ 1 & \left\lfloor \frac{C_i - L_i}{m} \right\rfloor < s \leq \left\lfloor \frac{C_i - L_i}{m} \right\rfloor + L_i \end{cases} \quad (۸)$$

اثبات)

بدترین حالت درخواست انرژی در هر گام برابر با  $m$  واحد است که در  $\left\lfloor \frac{C_i - L_i}{m} \right\rfloor$  گام اول به همین میزان تأمین می شود. باید نشان دهیم که در گام های بعدی اولاً انرژی کافی برای باقیمانده اجرا تأمین شده و ثانیاً زمان کافی برای اجرا با این ترتیب تأمین انرژی وجود دارد.

آنگاه در صورت استفاده از یک زمان بند حریصانه تمامی کارهای این وظیفه موعده خود را رعایت خواهند کرد. به عبارت دیگر حداقل تعداد هسته های لازم برای رعایت موعده وظیفه  $\tau_i$  برابر  $n_i^{min}$  خواهد بود و با افزایش تعداد هسته ها فرصت  $\tau_i$  بیشتری برای اجرای وظیفه  $\tau_i$  فراهم خواهد بود. همچنین فرض زیر در مورد تعداد هسته های یک وظیفه در زمان اجرا وجود دارد:

**فرض ۲** تعداد هسته ها قبل از شروع اجرای هر کار تعیین می شود و تا انتهای اجرای آن کار نمی تواند تغییر کند. به عبارت دیگر در حین اجرای یک کار نمی توان تعداد هسته ها را تغییر داد.

بر اساس فرض ۲، تعداد هسته های یک وظیفه در اجراهای مختلف می تواند متفاوت باشد ولی در حین اجرا تعداد آنها ثابت هستند. در ادامه، نحوه مصرف انرژی وظایف موازی را بررسی می کنیم و انرژی هر وظیفه را بر اساس بدترین حالت درخواست انرژی هر وظیفه تأمین خواهیم کرد.

## ۶- بدترین حالت مصرف انرژی

یک نکته مهم در مورد وظایف موازی نحوه مصرف انرژی آنها در طول زمان اجرا است. فرض کنیم وظیفه موازی با مجموع زمان اجرای  $C_i$ ، طول مسیر بحرانی  $L_i$  و تعداد  $m$  هسته تخصیص یافته است. در این حالت مقدار انرژی درخواستی این وظیفه در هر گام چیست؟

این مسئله در مورد وظایف تک نخه وجود ندارد، چرا که در وظایف تک نخه در هر گام از اجرا فقط از یک هسته استفاده می شود و نرخ مصرف انرژی ثابت است. در حالی که در وظایف موازی مشخص نیست که در هر گام از اجرا از چه تعداد هسته استفاده می شود و در نتیجه میزان انرژی که در هر گام نیاز است قطعی نیست. برای واضح تر شدن این مسئله ابتدا با یک مثال این موضوع را بررسی می کنیم.

**مثال (۱)** وظیفه موازی  $\tau_i$  با پارامترهای زیر را در نظر بگیرید: مجموع زمان اجرا  $C_i = 24$ ، طول مسیر بحرانی  $L_i = 4$ ، موعده ضمنی  $D_i = 9$ . کارهای این وظیفه در زمان اجرا می توانند حالت های مختلفی داشته باشند. حالت های مختلف اجرای این وظیفه را با در نظر گرفتن ۴ هسته برای آن بررسی می کنیم. در شکل (۴) برخی از حالت های اجرا این وظیفه نشان داده شده است.

همان طور که در شکل (۴) ملاحظه می شود، در حین اجرای وظیفه  $\tau_i$  بر روی ۴ هسته به دلیل امکان استفاده از تعداد مختلفی از هسته ها در هر گام، شاهد زمان های اجرای متفاوتی خواهیم بود و به عنوان نمونه در شکل (۴) در گام ۱ ممکن است از یک هسته (حالت ب)، سه هسته (حالت الف) یا چهار هسته (حالت ج) استفاده شود. این متفاوت بودن تعداد هسته های استفاده شده در هر گام به دلیل بخش های مختلف سری و موازی در کد برنامه است (بر اساس لم ۳ حداکثر به اندازه  $L_i = 4$  گام غیر کامل در حین اجرا می تواند وجود داشته باشد). در ادامه با استفاده از قضیه ۱، می توان بدترین حالت درخواست انرژی یک وظیفه موازی را محاسبه کرد.

**قضیه ۱** بدترین حالت درخواست انرژی وظیفه موازی  $\tau_i$  با  $m$  هسته به شرطی که  $\left\lfloor \frac{C_i}{m} \right\rfloor \geq L_i$  زمانی است که بیشترین موازی سازی و کمترین زمان اجرا را داشته باشد یعنی زمان اجرای وظیفه برابر باشد با  $\left\lfloor \frac{C_i}{m} \right\rfloor$ .

اثبات:

در هر گام حداکثر میزان درخواست انرژی زمانی خواهد بود که از تمامی هسته های تخصیص داده شده یعنی  $m$  هسته استفاده شود. بدترین حالت درخواست انرژی نیز زمانی خواهد بود که در تمامی گام ها بیشترین میزان انرژی ( $m$  واحد) درخواست شود که در این حالت زمان اجرا برابر خواهد بود با  $\left\lfloor \frac{C_i}{m} \right\rfloor$ .

با توجه به کران پایین زمان اجرای مطرح شده در فرمول (۵)، مقادیری از  $m$  که در آن  $\left\lfloor \frac{C_i}{m} \right\rfloor < L_i$  شود نیز صحیح نیستند و از آنها استفاده نمی شود. □

$$m \left\lfloor \frac{C_i - L_i}{m} \right\rfloor + \left( s - \left\lfloor \frac{C_i - L_i}{m} \right\rfloor \right) - L - (s - L - 1)m$$

$$= m \left\lfloor \frac{C_i - L_i}{m} \right\rfloor + \left( \left\lfloor \frac{C_i - L_i}{m} \right\rfloor + L - \left\lfloor \frac{C_i - L_i}{m} \right\rfloor \right) - L - \left( \left\lfloor \frac{C_i - L_i}{m} \right\rfloor + L - L - 1 \right) m = m \geq m$$

همان‌طور که ملاحظه شد، قبل از اجرای وظایف اطلاعی در مورد تعداد هسته‌های مورد استفاده در هر گام و در نتیجه انرژی مصرفی آن در هر گام وجود ندارد و تنها می‌توان بدترین حالات را در نظر گرفت (با استفاده از قضیه ۲) و بر اساس آن انرژی را به هسته‌ها تخصیص داد. حال این سؤال مطرح می‌شود که در صورتی که بدترین حالت درخواست انرژی اتفاق نیفتد (یعنی در یک گام کمتر از میزان مطرح شده در قضیه ۲ انرژی نیاز باشد) باید با انرژی مازاد عرضه شده به یک وظیفه چه کرد؟ پاسخ این است که در این حالت باید انرژی مازاد ذخیره شده و برای گام‌های بعدی همان کار استفاده کرد (در اینجا باید به این نکته توجه داشت که مجموع میزان انرژی مصرفی یک کار در طول هر اجرا ثابت است و فقط نحوه مصرف آن می‌تواند متفاوت باشد) برای ذخیره‌سازی انرژی مازاد یک گام (که به دلیل عدم پیروی از بدترین حالت مصرف انرژی به وجود آمده) از یک مخزن اختصاصی ذخیره‌سازی انرژی استفاده می‌شود. اختصاصی بودن مخزن ذخیره‌سازی به این معنی است که انرژی ذخیره شده در آن فقط مخصوص همین کار از وظیفه جاری است و از آن نمی‌توان در وظایف دیگر یا حتی کارهای دیگر از همین وظیفه استفاده کرد. علاوه بر این نیازی نیست که به ازای هر وظیفه باتری جداگانه‌ای در نظر گرفته شود. بلکه می‌توان قسمتی از ظرفیت باتری را برای هر وظیفه رزرو کرد. این مخزن ذخیره‌سازی انرژی فقط در حین اجرا هر کار از وظیفه نیاز خواهد بود و میزان انرژی موجود در آن قبل و بعد از اجرا یک کار صفر است. حال پرسش اینجا است که حجم این مخزن اختصاصی برای هر وظیفه چقدر است. با استفاده از قضیه ۳، می‌توان به این پرسش پاسخ داد.

**قضیه ۳** به ازای هر وظیفه موازی  $\tau_i$  نیازمند مخزن ذخیره‌سازی انرژی با حداقل ظرفیت زیر هستیم:

$$\omega(s) = \begin{cases} L_i * (m - 1), & L_i \leq \left\lfloor \frac{C_i - L_i}{m} \right\rfloor \\ \left\lfloor \frac{C_i - L_i}{m} \right\rfloor (m - 1), & otherwise \end{cases} \quad (9)$$

**اثبات:**

بیشترین نیاز به ذخیره‌سازی انرژی برای یک وظیفه در زمان اجرا زمانی اتفاق می‌افتد که بیشترین میزان انرژی تأمین شده و کمترین میزان انرژی مصرف شده باشد. با توجه به اینکه تأمین انرژی بر اساس تابع  $\varphi(s)$  از قضیه ۲ است، در گام  $\left\lfloor \frac{C_i - L_i}{m} \right\rfloor$  مجموع انرژی تأمین شده در ماکزیمم حالت است. حداقل مصرف انرژی نیز زمانی رخ می‌دهد که در هر گام فقط یک واحد انرژی مصرف شود و انرژی باقیمانده در هر گام برابر است با  $(m - 1)$  و تعداد این گام‌ها برابر است با  $\min(L_i, \left\lfloor \frac{C_i - L_i}{m} \right\rfloor)$

در این بخش نحوه مصرف انرژی وظایف موازی را با داشتن تعداد هسته‌های مختلف بررسی کردیم و نحوه تأمین انرژی هر وظیفه را در بدترین حالت مشخص نمودیم. در بخش بعدی نحوه تعیین تعداد هسته‌ها با هدف جبران تأخیر وظایف پر اولویت‌تر را توضیح می‌دهیم و پس از آن آزمون زمان‌بندی پذیری و الگوریتم زمان‌بندی وظایف، مبتنی بر بدترین روش درخواست انرژی مطرح شده در قضیه ۱، را نیز معرفی می‌کنیم.

مجموع انرژی تأمین شده در گام یک تا گام  $L_i + \left\lfloor \frac{C_i - L_i}{m} \right\rfloor$  برابر است با:

$$\sum_1^{L_i + \left\lfloor \frac{C_i - L_i}{m} \right\rfloor} \varphi(s) = m \left\lfloor \frac{C_i - L_i}{m} \right\rfloor + L_i \geq m \frac{C_i - L_i}{m} + L_i = C_i$$

در نتیجه انرژی کافی در این بازه تأمین می‌شود. حال باید دید که آیا زمان کافی برای اجرای تمامی حالات درخواست انرژی با این روش تأمین انرژی وجود دارد یا خیر؟ باید توجه داشت که در هر گام حداکثر به اندازه  $m$  واحد از کار را می‌توان اجرا کرد. حال فرض کنیم که در گام  $1 + \left\lfloor \frac{C_i - L_i}{m} \right\rfloor$  درخواست اجرای  $m$  واحد از کار وجود دارد. در این گام تنها یک واحد انرژی تأمین می‌شود و اجرای این مرحله تا  $m$  گام بعدی به تأخیر می‌افتد (در هر گام یک واحد انرژی تأمین می‌شود). حال با توجه به اینکه در هر گام حداکثر به اندازه  $m$  واحد از وظیفه مورد نظر را می‌توان اجرا کرد شرایط زیر را خواهیم داشت:

- اگر  $m > L$  باشد آنگاه با توجه به این که مجموع کار باقیمانده حداکثر به اندازه  $L$  است در نتیجه در یک گام نمی‌تواند به اندازه تمامی  $m$  هسته‌ها کار باقیمانده وجود داشته باشد و در نتیجه در گام آخر (یعنی گام  $L_i + \left\lfloor \frac{C_i - L_i}{m} \right\rfloor$ ) تمامی انرژی مورد نیاز تأمین شده و در همان گام آخر می‌توان آن را اجرا کرد.
  - اگر  $m \leq L$  باشد آنگاه در هر گام امکان استفاده از تمامی هسته‌ها وجود دارد در نتیجه در هر  $m$  گام یکبار از تمامی هسته‌ها استفاده خواهد شد که تعداد این اجراها برابر با  $L/m$  خواهد بود.
- حال حالتی را در نظر می‌گیریم که در گام‌های نخست حداقل اجرا (تنها یک هسته در هر گام) را داشته باشیم و بیشتر زمان اجرا به گام‌های آخر موکول شده باشند. در این حالت اگر در گام‌های نخست در هر گام فقط از یک هسته استفاده شود که با توجه به  $L$  طول این گام‌های غیرکامل حداکثر برابر با  $L$  خواهد بود و باید در  $\left\lfloor \frac{C_i - L_i}{m} \right\rfloor$  گام بعدی باقیمانده وظیفه را اجرا کرد و دوباره بر اساس  $L$  تمامی این گام‌ها کامل هستند و از تمامی هسته‌ها استفاده می‌شود. باید نشان داد که از گام  $L + 1$  تا  $L_i + \left\lfloor \frac{C_i - L_i}{m} \right\rfloor$  در هر گام حداقل  $m$  واحد انرژی تأمین شده است و در نتیجه اجراهای هر گام بدون هیچ تأخیر انرژی انجام می‌شود.
- باید نشان دهیم که در گام  $s$  که  $L_i < s \leq \left\lfloor \frac{C_i - L_i}{m} \right\rfloor + L_i$  حداقل  $m$  واحد انرژی وجود دارد یعنی:

$$m \left\lfloor \frac{C_i - L_i}{m} \right\rfloor + \left( s - \left\lfloor \frac{C_i - L_i}{m} \right\rfloor \right) - L - (s - L - 1)m \geq m$$

- $m \left\lfloor \frac{C_i - L_i}{m} \right\rfloor$  : در  $\left\lfloor \frac{C_i - L_i}{m} \right\rfloor$  گام اول در هر گام  $m$  واحد انرژی دریافت می‌شود.
- $s - \left\lfloor \frac{C_i - L_i}{m} \right\rfloor$  : مجموع انرژی 1 واحدی دریافت شده.
- $L$  : در  $L$  گام اول در هر گام یک واحد انرژی مصرف شده است.
- $s - L - 1$  : بعد از گام  $L$  ام، در هر گام  $m$  واحد انرژی مصرف شده است.

حال می‌توان دو حالت را برای  $s$  در نظر گرفت:

$$\text{حالت اول } L < s \leq \left\lfloor \frac{C_i - L_i}{m} \right\rfloor$$

در این حالت با توجه به تابع  $\varphi(s)$  در هر گام  $m$  واحد انرژی تأمین خواهد شد.

$$\text{حالت دوم } \left\lfloor \frac{C_i - L_i}{m} \right\rfloor < s$$

با توجه به اینکه در این حالت نرخ ورود انرژی ۱ است و نرخ مصرف انرژی برای  $m$  و  $m \geq 1$  بنابراین بدترین حالت کمبود انرژی در گام آخر یعنی گام  $s =$

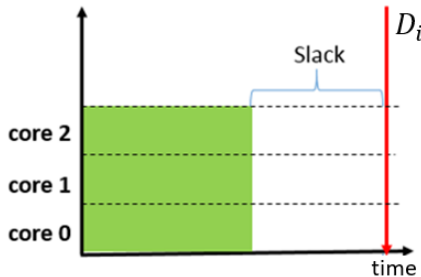
$$L_i + \left\lfloor \frac{C_i - L_i}{m} \right\rfloor \text{ رخ می‌دهد:}$$

$$ed_i(t) = \sum_{j \leq i} \left\lfloor \frac{t}{D_j} \right\rfloor \times C_j \times p_j \quad (11)$$

**تعریف ۳) درخواست زمان.** درخواست زمان هر وظیفه برابر است با زمانی که برای تأمین انرژی وظایف پر اولویت‌تر از وظیفه  $\tau_i$  و خود وظیفه  $\tau_i$  نیاز است:

$$wd_i(t) = \left( \sum_{j \leq i} \left\lfloor \frac{t}{D_j} \right\rfloor \times C_j \times p_j \right) / P_r \quad (12)$$

هدف از این محاسبات تعیین حداقل هسته‌های لازم برای جبران مقدار زمانی است که (به دلیل تأمین انرژی وظایف پر اولویت‌تر) اجرای این وظیفه به تأخیر افتاده است. یعنی با افزایش تعداد هسته‌ها تضمین می‌شود که اجرای وظیفه  $\tau_i$  علیرغم تأخیرهای به وجود آمده به دلیل تأمین انرژی سایر وظایف سر موعود انجام خواهد شد.



شکل ۶- فرصت وظایف با افزایش تعداد هسته‌ها افزایش می‌یابد

### ۷-۲- تعیین تعداد هسته‌ها

همان‌طور که در شکل (۶) ملاحظه می‌شود، با افزایش تعداد هسته‌های هر وظیفه فرصت آن برای اجرا بیشتر خواهد شد. با توجه به این موضوع، تعداد هسته‌های لازم برای اجرای وظیفه  $\tau_i$  باید به نحوی باشد که علی‌رغم تأخیر ناشی از تأمین انرژی وظایف پر اولویت‌تر موعود خود را رعایت کند. در این حالت باید میزان تأخیری که در مرحله قبل محاسبه شد را نیز در فرمول تعیین تعداد هسته‌ها گنجانده برای این منظور تعداد هسته‌های هر یک از وظایف برابر خواهد بود با:

$$n_i = \left\lceil \frac{C_i - L_i}{D_i - wd_i(D_i) - L_i} \right\rceil \quad (13)$$

که این تعداد از هسته‌ها به‌صورت اختصاصی به وظایف تخصیص می‌یابد.

## ۷- زمان‌بندی انرژی

همان‌طور که در بخش قبل توضیح داده شد انرژی با یک نرخ ثابت وارد سیستم می‌شود و ممکن است تأمین انرژی یک وظیفه پر اولویت مانع از تأمین انرژی و اجرای وظایف دیگر شود. در این حالت سؤال اساسی این است که آیا می‌توان با یک استراتژی تأمین انرژی به همراه تعیین مناسب تعداد هسته‌های هر یک از وظایف همگی آن‌ها موعود زمانی خود را رعایت کنند؟ در اینجا منظور از زمان‌بندی انرژی، زمان‌بندی تأمین انرژی هر یک از وظایف است به‌نحوی که تمامی وظایف موعود خود را رعایت کنند. برای این کار باید به چند پرسش اساسی پاسخ داد:

- در زمان ورود یک کار از یک وظیفه، تأمین انرژی وظایف پر اولویت‌تر اجرای کار جاری را چه میزان به تأخیر می‌اندازد؟
  - آیا با اضافه کردن تعداد هسته‌ها و موازی‌سازی بیشتر می‌توان تأخیر به وجود آمده را جبران کرد تا وظیفه جاری موعودش را رعایت می‌کند؟
- در ادامه این بخش ابتدا روشی برای محاسبه تأخیر تأمین انرژی وظایف ارائه می‌شود، پس از آن نحوه تعیین تعداد هسته‌ها با هدف جبران تأخیر ذکر شده ارائه می‌شود و پس از آن آزمون زمان‌بندی پذیری و الگوریتم زمان‌بندی وظایف مبتنی بر بدترین روش درخواست انرژی مطرح شده در قضیه ۱ معرفی می‌شود.

### ۷-۱- تأخیر تأمین انرژی

برای محاسبه تأخیر تأمین انرژی وظایف لازم است که به ازای هر وظیفه  $\tau_i$  ابتدا درخواست پردازنده<sup>۲۸</sup> وظایف پر اولویت را تعیین کرد، سپس انرژی لازم برای اجرای این مقدار از درخواست پردازنده را مشخص کرد و پس از آن مقدار زمان لازم برای تأمین این میزان انرژی را تعیین کرد. روند این محاسبات در شکل (۵) آمده است. پس از این محاسبات می‌توان تعیین کرد که آیا می‌توان با اضافه کردن تعداد هسته‌های وظیفه  $\tau_i$  تأخیر به وجود آمده در اجرای آن را جبران کرد؟ در ادامه مفاهیم «درخواست پردازنده»، «درخواست انرژی» و «درخواست زمان» را معرفی نموده و از آنها برای تعیین تعداد هسته‌های هر وظیفه استفاده می‌کنیم.



شکل ۵- روند محاسبه تأخیر انرژی وظایف

**تعریف ۱) درخواست پردازشی.** درخواست پردازشی وظایف پر اولویت‌تر از وظیفه  $\tau_i$  برابر است با میزان زمان پردازنده‌ای که وظایف پر اولویت‌تر از وظیفه  $\tau_i$  و خود وظیفه  $\tau_i$  در بازه زمانی  $[0, t]$  درخواست می‌کنند:

$$pd_i(t) = \sum_{j \leq i} \left\lfloor \frac{t}{D_j} \right\rfloor \times C_j \quad (10)$$

**تعریف ۲) درخواست تأمین انرژی.** درخواست تأمین انرژی وظایف برابر است با میزان انرژی که برای تأمین انرژی درخواست پردازنده وظایف پر اولویت‌تر از وظیفه  $\tau_i$  و خود وظیفه  $\tau_i$  در بازه زمانی  $[0, t]$  نیاز است که برابر است با:

#### Algorithm 1 Core Assignment

```

1:   $wd_0 \leftarrow 0$ 
2:  for  $i = 1 \rightarrow n$  do
3:     $j \leftarrow i$ 
4:     $ed_i = 0$ 
5:    while  $j \leq i$  do
6:       $ed_i \leftarrow ed_i + \left\lfloor \frac{D_i}{D_j} \right\rfloor \times C_j \times p_j$ 
7:       $j \leftarrow j - 1$ 
8:    end while
9:     $wd_i \leftarrow \frac{ed_i}{P_r}$ 
10: end for
11: for  $i = 0 \rightarrow n$  do
12:   if  $(D_i - wd_i - L_i) \leq 0$ 
13:      $n_i \leftarrow \infty$ 
14:   else
15:      $n_i \leftarrow \left\lceil \frac{C_i - L_i}{D_i - wd_i - L_i} \right\rceil$ 
16:   end for

```

وظایف بعدی نیز تکرار می‌شود. در صورتی که در انتهای این گام انرژی مازاد وجود داشته باشد در باتری ذخیره می‌شود. زمانی که انرژی کافی برای اجرای یک وظیفه وجود ندارد، این وظیفه اجرا نمی‌شود و منتظر جمع شدن انرژی در باتری می‌ماند. در بخش بعدی با استفاده از شبیه سازی و انجام آزمایشات، نتایج به دست آمده از روش ارائه شده با الگوریتم بهینه مقایسه شده است.

### Algorithm 3 Para\_ASAP Scheduling

```

1:  $t \leftarrow 0$ 
2: Loop
3:    $E \leftarrow P_r + B$ 
4:   for  $i = 0 \rightarrow n$  do
5:     if ( $\tau_i$  is active) then
6:       if ( $n_i * p_r \leq E$ ) then
7:         execute  $\tau_i$  for one step
8:          $E \leftarrow E - n_i * p_r$ 
9:       end if
10:    end if
11:  end for
12:   $B \leftarrow \min(E, B_{max})$ 
13:   $t \leftarrow t + 1$ 
14: end loop

```

## ۸- آزمایش‌ها

برای بررسی صحت الگوریتم یک شبیه‌ساز برای الگوریتم‌های مورد نظر پیاده‌سازی شد و تأثیر میزان موازی بودن وظایف و نیز نقش باتری در زمان‌بندی پذیری وظایف مورد آزمایش قرار گرفته و نتایج به دست آمده از روش ارائه شده با حالت بهینه مقایسه شد. در ادامه نحوه تولید وظایف، پارامترهای مرتبط با انرژی، زمان‌بند بهینه و تعداد هسته‌ها معرفی شده و پس از شرح نتایج به تحلیل نتایج به دست آمده می‌پردازیم.

**تولید وظایف:** در هر دور از آزمایش مجموعه وظایفی شامل شش وظیفه دوره‌ای تولید شدند که موعدهای وظایف به صورت تصادفی توسط یک توزیع نمایی در بازه [40-2560] تولید شد. مجموع زمان اجرای وظایف به نحوی انتخاب شد که در اجراهای مختلف وظایفی با بهره‌وری معادل ۱۰۰، ۱۲۵، ۱۵۰، ۱۷۵، ۲۰۰، ۲۲۵ و ۲۵۰ درصد تولید شود. اولویت وظایف نیز بر اساس سیاست موعده-یکنواخت<sup>۲۹</sup> انتخاب شد.

**پارامترهای انرژی:** نرخ مصرف انرژی وظایف به صورت تصادفی در بازه [5-60] میلی‌وات تولید شد. پارامتر انرژی ورودی به سیستم  $P_r$  به نحوی انتخاب شد که حداقل میزان انرژی لازم برای امکان‌پذیر بودن وظایف تأمین شود. برای این کار مجموع انرژی مصرفی وظایف در طول یک ابر دوره محاسبه شد. سپس  $P_r$  برابر با بزرگ‌ترین عدد صحیح حاصل از تقسیم انرژی کل مصرفی یک ابر دوره بر طول ابر دوره قرار داده شد.

**زمان‌بند بهینه.** با توجه به عدم وجود الگوریتم رقیب، امکان مقایسه نتایج به دست آمده از الگوریتم Para\_asap با کارهای مشابه وجود ندارد. لذا، مشابه [۱۷]، نتایج به دست آمده از این الگوریتم با خروجی الگوریتم بهینه (که در شکل ۷ با عنوان Optimal مشخص شده است) مقایسه شده‌اند. الگوریتم بهینه با استفاده از جستجوی فراگیر<sup>۳۰</sup> فضای حالت را برای وظایف مختلف به ازای تمامی تعداد هسته‌های ممکن و با ترتیب‌های اجرای متفاوت تا رسیدن تمامی آنها به موعدهشان جستجو می‌کند. الگوریتم Optimal دارای پیچیدگی محاسباتی بالایی است (از درجه  $O(n^n)$ ).

**تعداد هسته‌ها.** مجموع تعداد هسته‌های هر آزمایش نیز در هر دو الگوریتم Para\_asap و Optimal یکسان و بر اساس [۳۰] به اندازه  $3 \times \sum_{i=0}^n u_i$  (سه برابر مجموع بهره‌وری تمامی وظایف تولید شده) در نظر گرفته شده است.

در Algorithm 1 به ازای هر یک از وظایف تأخیر ناشی از تأمین انرژی وظایف پر اولویت‌تر محاسبه شده و سپس تعداد هسته‌های لازم برای رسیدن به موعدها در نظر گرفتن این تأخیر محاسبه می‌شود. در صورتی که میزان این تأخیر به اندازه‌ای باشد که امکان رعایت موعدها وجود نداشته باشد تعداد هسته‌ها بینهایت در نظر گرفته می‌شود (خط ۱۲ و ۱۳ از Algorithm 1)

## ۷-۳- زمان‌بندی پذیری

حال که تعداد هسته‌های مورد نیاز وظایف مشخص شده‌اند به بررسی شرایط زمان‌بندی پذیری می‌پردازیم. برای زمان‌بندی پذیری وظایف از الگوریتم زیر استفاده می‌شود.

در این الگوریتم ابتدا بررسی می‌شود که طول مسیر بحرانی کوچک‌تر از موعدها باشد. در غیر این صورت با هر تعداد هسته‌ای که به وظیفه مورد نظر تخصیص یابد امکان رسیدن به موعدها وجود ندارد. پس از آن تعداد هسته‌های تخصیص یافته از Algorithm 1 مورد بررسی قرار می‌گیرد. همان‌طور که در بخش قبل اشاره شده در صورتی که امکان جبران تأخیر ناشی از تأمین انرژی وظایف پر اولویت‌تر با افزایش تعداد هسته‌ها وجود نداشته باشد تعداد هسته‌ها بینهایت در نظر گرفته می‌شود. در خط ۶ الگوریتم نرخ مصرف انرژی یک وظیفه با توجه به هسته‌های تخصیص یافته  $n_i \times p_i$  بررسی می‌شود. در صورتی که این نرخ مصرف انرژی بزرگتر از مجموع انرژی وارد شده به سیستم به اضافه حداکثر ظرفیت باتری باشد امکان اجرای این وظیفه وجود ندارد. در نهایت مجموع تعداد هسته‌های مورد نیاز با مجموع تعداد هسته‌های موجود مقایسه می‌شود.

### Algorithm 2 Schedulability Test

```

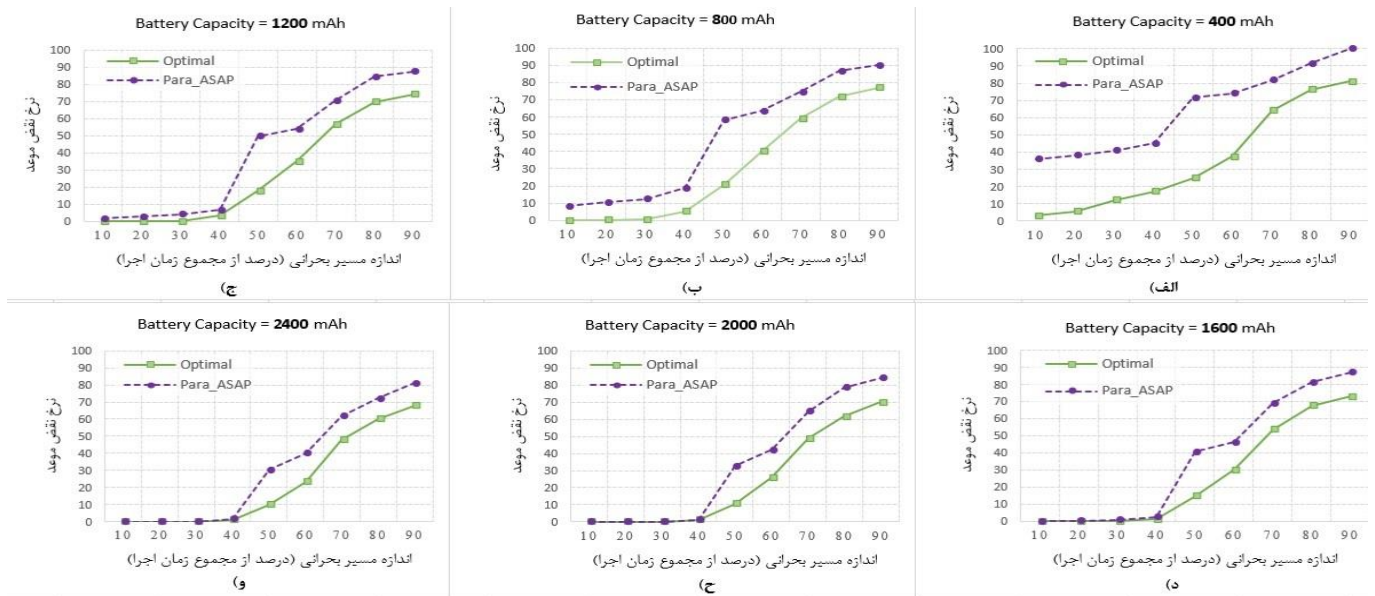
1: For  $i = 0 \rightarrow n$  do
2:   if ( $D_i \leq L_i$ ) then
3:     Return False
4:   if ( $n_i = \infty$ ) then
5:     Return False
6:   if ( $n_i \times p_i = P_r + B_{max}$ ) then
7:     Return False
8:   end for
9:   if ( $\sum n_i > n_{total}$ ) then
10:    return False
11:  return True

```

## ۷-۴- الگوریتم زمان‌بندی

همان‌طور که در بخش قبل توضیح داده شد، پس از آنکه هسته‌هایی هر یک از وظایف به صورت اختصاصی برای آن‌ها تخصیص داده شد، هر یک از وظایف در داخل مجموعه هسته‌های خود به صورت فدرال و با استفاده از یک الگوریتم زمان‌بندی حریم‌ساز زمان‌بندی می‌شوند به این صورت که نوبت به زمان‌بندی وظایف می‌رسد. در ادامه برای زمان‌بندی انرژی هر یک از وظایف از سیاست مشابه ASAP [۷] استفاده می‌شود.

در این الگوریتم تخصیص انرژی به هر وظیفه بر اساس قضیه ۱ انجام می‌شود (ارائه روش زمان‌بندی با استفاده از روش تخصیص انرژی قضیه ۲ به مقالات آتی موکول می‌شود). در هر گام ابتدا پر اولویت‌ترین وظیفه انتخاب شده و در صورت فعال بودن یک کار از این وظیفه، موجود بودن انرژی برای یک گام اجرای آن بررسی می‌شود و در صورت وجود انرژی کافی (مجموع انرژی ذخیره شده در باتری به اضافه انرژی دریافت شده از محیط) وظیفه مورد نظر به اندازه یک گام اجرا می‌شود. در این الگوریتم در ابتدای هر گام ابتدا به ازای هر کار فعال در صورتی که مجموع انرژی موجود در گام جاری (شامل انرژی دریافت شده از محیط به اضافه انرژی ذخیره شده در باتری) بزرگ‌تر از نرخ مصرف انرژی وظیفه  $\tau_i$  در این لحظه یا  $n_i * p_r$  باشد، آنگاه وظیفه  $\tau_i$  یک گام اجرا می‌شود. سپس همین روال برای



شکل ۷- مقایسه الگوریتم ارائه شده با حالت بهینه در ظرفیت‌های مختلف باتری.

### ۹- نتیجه‌گیری

در این مقاله زمان‌بندی وظایف بی‌درنگ موازی اولویت-ثابت در سیستم‌های سایبر-فیزیکی چند هسته‌ای با محدودیت انرژی مورد بررسی قرار گرفت. در این پژوهش تحلیلی برای بدترین حالت مصرف انرژی وظایف موازی ارائه شد. برای زمان‌بندی انرژی وظایف موازی نیز از این ایده بهره‌برداری شد که تأخیر تأمین انرژی وظایف را می‌توان با افزایش تعداد هسته‌ها جبران کرد. نتایج شبیه‌سازی‌های انجام شده نشان می‌دهد که با کاهش طول مسیر بحرانی یک وظیفه و در نتیجه افزایش بخش موازی وظایف، زمان‌بندی پذیری وظایف به‌صورت چشمگیری کاهش می‌یابد. به‌طوری‌که با کاهش طول مسیر بحرانی به کمتر از ۴۰ درصد، الگوریتم ارائه شده نتایجی نزدیک به حالت بهینه دارد.

### مراجع

- [1] R. (Raj) Rajkumar, I. Lee, L. Sha, J. Stankovic, "Cyber-physical systems," *Proc. 47th Des. Autom. Conf. - DAC '10*, p. 731, 2010.
- [2] H. El Ghor, M. Chetto, R. H. Chehade, "A real-time scheduling framework for embedded systems with environmental energy harvesting," *Comput. Electr. Eng.*, vol. 37, no. 4, pp. 498-510, Jul. 2011.
- [3] C. Moser, D. Brunelli, L. Thiele, L. Benini, "Real-time scheduling for energy harvesting sensor nodes," *Real-Time Syst.*, vol. 37, no. 3, pp. 233-260, Oct. 2007.
- [4] C. Moser, D. Brunelli, L. Thiele, L. Benini, "Real-time scheduling with regenerative energy," *Proc. - Euromicro Conf. Real-Time Syst.*, pp. 261-270, 2006.
- [5] M. Chetto, A. Queudet, "A note on EDF scheduling for real-time energy harvesting systems," *IEEE Trans. Comput.*, vol. 63, no. 4, pp. 1037-1040, Apr. 2014.
- [6] M. Chetto, D. Masson, S. Midonnet, "Fixed priority scheduling strategies for ambient energy-harvesting embedded systems," *Proc. - IEEE/ACM Int. Conf. Green Comput. Commun. GreenCom*, pp. 50-55, 2011.
- [7] Y. Abdeddaïm, Y. Chandarli, D. Masson, "The optimality of PFPasap algorithm for fixed-priority energy-harvesting real-time systems," *Proc. - Euromicro Conf. Real-Time Syst.*, pp. 47-56, 2013.
- [8] R. Y. Tsai, R. K. Lenz, "Real time versatile robotics hand/eye calibration using 3D machine vision," *Proceedings. IEEE Int. Conf. Robot. Autom.*, pp. 554-561, 1988.
- [9] J. Li, J. J. Chen, K. Agrawal, C. Lu, C. Gill, A. Saifullah, "Analysis of Federated and Global Scheduling for Parallel Real-Time Tasks," *Proc. - Euromicro Conf. Real-Time Syst.*, pp. 85-96, 2014.
- [10] D. Moss, P. Pittsburgh, "Scheduling of Frame-based Embedded Systems with Rechargeable Batteries," *Work. Power Manag. Real-time Embed. Syst. (in conjunction with RTAS)*, pp. 1-8, 2001.
- [11] J. Lin, A. M. K. Cheng, "Real-time task assignment in rechargeable

بنابراین با توجه به تعداد وظایف و نیز بهره‌وری آنها که در بخش تولید وظایف به آن پرداخته شده، در تمامی آزمایش‌ها تعداد هسته‌ها بین ۶ تا ۱۵ بود.

**شرح آزمایش.** در این آزمایش وظایفی با طول مسیر بحرانی متفاوت و اندازه باتری‌های مختلف مورد بررسی قرار گرفت. برای این کار مجموعه وظایفی با طول مسیر بحرانی ۱۰ درصد تا ۹۰ درصد تولید و سپس زمان‌بندی پذیری وظایف به ازای ۶ اندازه مختلف باتری مورد بررسی قرار گرفت (باتری با ولتاژ ۲.۷ ولت مشابه [۳۱] در نظر گرفته شد). در این آزمایش به ازای هر کدام از اندازه‌های مختلف باتری ۲۰۰۰ مجموعه وظیفه مختلف با مشخصات ذکر شده مورد بررسی قرار گرفت. در این آزمایش میزان رعایت موعد وظایف با موازی‌سازی‌های مختلف بررسی شد. در هر دور آزمایش وظایف با پیکربندی‌های ذکر شده یک بار با الگوریتم Para\_asap و یکبار نیز با زمان‌بند بهینه اجرا شد. نتایج مشاهده شده در شکل (۷) آمده است.

**بررسی نتایج.** همان‌طور که اشاره شد وظایف با اندازه‌های مختلف مسیر بحرانی، از ۱۰ درصد کل زمان اجرا تا ۹۰ درصد زمان اجرا مورد بررسی قرار گرفتند و شش آزمایش با مقادیر ۴۰۰ تا ۲۴۰۰ میلی‌آمپر ساعت برای ظرفیت باتری انجام شد. همان‌طور که در شکل (۷) مشاهده می‌شود، در الگوریتم Para\_asap در تمامی آزمایش‌ها با افزایش نسبت طول مسیر بحرانی به کل زمان اجرا، نرخ عدم رعایت موعد افزایش می‌یابد، به‌صورتی که با افزایش طول مسیر بحرانی از ۴۰٪ زمان اجرا، شاهد کاهش چشمگیر نرخ رعایت موعد در الگوریتم Para\_asap نسبت به الگوریتم Optimal هستیم. در قسمت الف شکل (۷) ملاحظه می‌شود که با مقادیر کمتر ظرفیت باتری، الگوریتم Para\_asap فاصله بیشتری با الگوریتم Optimal پیدا می‌کند و با افزایش ظرفیت باتری نتایج الگوریتم Para\_asap به الگوریتم Optimal نزدیک‌تر می‌شود. همان‌طور که در این شکل‌ها ملاحظه می‌شود، این الگوریتم با ظرفیت مناسب باتری (قسمت ج تا و شکل (۷)) در وظایفی با مسیر بحرانی کمتر از ۴۰ درصد، افزایش کارایی چشمگیری دارد و نتایج آن نزدیک به نتایج الگوریتم Optimal است. لازم به یادآوری است که اندازه مسیر بحرانی ۱۰٪، به معنای سری بودن کامل وظیفه مورد نظر است و با توجه به اینکه بهره‌وری وظایف در آزمایش‌ها بیشتر از ۱۰۰٪ است در این حالت امکان رعایت هیچ موعدی وجود ندارد. به همین منظور وظایف با مسیر بحرانی بیش از ۹۰٪ از نتایج آزمایش‌ها حذف شده‌اند.

- for ambient energy-harvesting embedded systems," *Proc. - IEEE/ACM Int. Conf. Green Comput. Commun. GreenCom*, pp. 50–55, 2011.
- [30] J. Li, J. J. Chen, K. Agrawal, C. Lu, C. Gill, A. Saifullah, "Analysis of Federated and Global Scheduling for Parallel Real-Time Tasks," *Proc. - Euromicro Conf. Real-Time Syst.*, pp. 85–96, 2014.
- [31] A. Mirhoseini, F. Koushanfar, "HypoEnergy: Hybrid supercapacitor-battery power-supply optimization for Energy efficiency," *Proc. - Design, Autom. Test Eur. DATE*, pp. 887–890, 2011.

**جمال محمدی** مدرک کارشناسی ارشد خود را در رشته علوم کامپیوتر از دانشگاه صنعتی شریف دریافت نموده است. وی هم‌اکنون دانشجوی دکتری نرم‌افزار دانشگاه تهران است. زمینه‌های تحقیقاتی موردعلاقه وی زمان‌بندی آگاه از انرژی و وظایف موازی است.



آدرس پست الکترونیکی ایشان عبارت است از:

[jmohammadi@ut.ac.ir](mailto:jmohammadi@ut.ac.ir)

**مهدی کارگهی** در حال حاضر دانشیار گروه مهندسی برق و کامپیوتر دانشگاه تهران است. او مدرک لیسانس خود را در رشته مهندسی کامپیوتر از دانشگاه صنعتی امیرکبیر در سال ۱۹۹۸ و کارشناسی ارشد و دکتری خود را در رشته مهندسی کامپیوتر از دانشگاه صنعتی شریف به ترتیب در سال‌های ۲۰۰۱ و ۲۰۰۶ دریافت کرده است. او همچنین از سال ۲۰۰۳ محقق دانشکده علوم رایانه در پژوهشگاه دانش‌های بنیادی (IPM) بوده است. آدرس پست الکترونیکی ایشان عبارت است از:



[kargahi@ut.ac.ir](mailto:kargahi@ut.ac.ir)

**محمود شیرازی** در حال حاضر استادیار دانشکده علوم رایانه و فناوری اطلاعات در دانشگاه تحصیلات تکمیلی علوم پایه زنجان است. او مدرک کارشناسی خود را در رشته علوم کامپیوتر از دانشگاه تبریز، مدرک کارشناسی ارشد خود را در رشته علوم کامپیوتر از دانشگاه تحصیلات تکمیلی علوم پایه زنجان و مدرک دکتری خود را از پژوهشگاه دانش‌های بنیادی (IPM) در رشته علوم کامپیوتر دریافت کرده است. زمینه‌های تحقیقاتی وی در حوزه سیستم‌های بی‌درنگ و پردازش موازی است. آدرس پست الکترونیکی ایشان عبارت است از:



[m.shirazi@iasbs.ac.ir](mailto:m.shirazi@iasbs.ac.ir)

- multiprocessor systems," *Proc. - 14th IEEE Int. Conf. Embed. Real-Time Comput. Syst. Appl. RTCSA*, pp. 279–284, 2008.
- [12] C. Moser, D. Brunelli, L. Thiele, L. Benini, "Lazy scheduling for energy harvesting sensor nodes," *IFIP Int. Fed. Inf. Process.*, vol. 225, pp. 125–134, 2006.
- [13] R. Jayaseelan, T. Mitra, X. Li, "Estimating the worst-case energy consumption of embedded software," *Real-Time Technol. Appl. - Proc.*, pp. 81–90, 2006.
- [14] H. El Ghor, M. Chetto, R. H. Chehade, "A real-time scheduling framework for embedded systems with environmental energy harvesting," *Comput. Electr. Eng.*, vol. 37, no. 4, pp. 498–510, Jul. 2011.
- [15] Y. Chandarli, Y. Abdeddaïm, D. Masson, "The fixed priority scheduling problem for energy harvesting real-time systems," *Proc. - 18th IEEE Int. Conf. Embed. Real-Time Comput. Syst. Appl. RTCSA - 2nd Work. Cyber-Physical Syst. Networks, Appl. CPSNA*, pp. 415–418, 2012.
- [16] K. Faramarzi, M. Hasanloo, M. Kargahi, "The PFPASAP algorithm for energy harvesting real-time systems with a non-ideal supercapacitor," *5th Int. Conf. Comput. Knowl. Eng.*, pp. 279–284, 2015.
- [17] M. Shirazi, M. Kargahi, L. Thiele, "Performance maximization of energy-variable self-powered (m, k)-firm real-time systems," *Real-Time Syst.*, vol. 56, no. 1, pp. 64–111, Jan. 2020.
- [18] A. Saifullah, S. Fahmida, V. P. Modekurthy, N. Fisher, Z. Guo, "CPU energy-aware parallel real-time scheduling," *Leibniz Int. Proc. Informatics, LIPIcs*, vol. 165, 2020.
- [19] H. Nishikawa, K. Shimada, I. Taniguchi, H. Tomiyama, "Energy-aware scheduling of malleable fork-join tasks under a deadline constraint on heterogeneous multicores," *ACM SIGBED Rev.*, vol. 16, no. 3, pp. 57–62, Oct. 2019.
- [20] B. Barzegar, H. Motameni, A. Movaghar, "EATSDCD: A green energy-aware scheduling algorithm for parallel task-based application using clustering, duplication and DVFS technique in cloud datacenters," *J. Intell. Fuzzy Syst.*, vol. 36, no. 6, pp. 5135–5152, Jan. 2019.
- [21] D. S. Garey, Michael R.; Johnson, *Computers and Intractability: A Guide to the Theory of NP-Completeness*. W. H. Freeman and Company, 1979.
- [22] R. D. Blumofe, C. F. Joerg, B. C. Kuszmaul, C. E. Leiserson, K. H. Randall, Y. Zhou, "Cilk: An efficient multithreaded runtime system," *J. Parallel Distrib. Comput.*, vol. 37, no. 1, pp. 55–69, Aug. 1996.
- [23] "Intel® Cilk™ Plus Language Extension Specification." [Online]. Available: [https://www.cilkplus.org/sites/default/files/open\\_specifications/Intel\\_Cilk\\_plus\\_lang\\_spec\\_1.2.htm](https://www.cilkplus.org/sites/default/files/open_specifications/Intel_Cilk_plus_lang_spec_1.2.htm). [Accessed: 05-Sep-2020].
- [24] O. Tardieu, H. Wang, H. Lin, "A work-stealing scheduler for X10's task parallelism with suspension," *ACM SIGPLAN Not.*, vol. 47, no. 8, pp. 267–276, 2012.
- [25] G. M. Amdahl, "Validity of the single processor approach to achieving large scale computing capabilities," *AFIPS Conf. Proc. - Spring Jt. Comput. Conf. AFIPS*, pp. 483–485, 1967.
- [26] Y. He, C. E. Leiserson, W. M. Leiserson, "The Cilkview scalability analyzer," *Annu. ACM Symp. Parallelism Algorithms Archit.*, pp. 145–156, 2010.
- [27] T. B. Schardl, B. C. Kuszmaul, I. T. A. Lee, W. M. Leiserson, C. E. Leiserson, "The Cilkprof scalability profiler," *Annu. ACM Symp. Parallelism Algorithms Archit.*, pp. 89–100, 2015.
- [28] Y. Abdeddaïm, Y. Chandarli, D. Masson, "The optimality of PFPasap algorithm for fixed-priority energy-harvesting real-time systems," *Proc. - Euromicro Conf. Real-Time Syst.*, pp. 47–56, 2013.
- [29] M. Chetto, D. Masson, S. Midonnet, "Fixed priority scheduling strategies

<sup>۱۶</sup> Critical Path

<sup>۱۷</sup> Zero power

<sup>۱۸</sup> Identical

<sup>۱۹</sup> Sporadic

<sup>۲۰</sup> Deadline

<sup>۲۱</sup> Implicit deadline

<sup>۲۲</sup> Job

<sup>۲۳</sup> Utilization

<sup>۲۴</sup> Release

<sup>۲۵</sup> Step

<sup>۲۶</sup> Idle

<sup>۲۷</sup> Slack

<sup>۲۸</sup> Processor demand

<sup>۲۹</sup> Deadline-monotonic

<sup>۳۰</sup> Exhaustive search

<sup>۱</sup> Preemptive Fixed Priority as Soon as Possible

<sup>۲</sup> Energy demand

<sup>۳</sup> Energy-aware

<sup>۴</sup> Energy-optimal

<sup>۵</sup> Energy harvester

<sup>۶</sup> Lazy Scheduling Algorithm

<sup>۷</sup> Worst-Case Execution Time

<sup>۸</sup> Clairvoyant

<sup>۹</sup> Earliest Deadline First

<sup>۱۰</sup> Preemptive Fixed Priority as Late as Possible

<sup>۱۱</sup> Time contention

<sup>۱۲</sup> Task

<sup>۱۳</sup> Directed Acyclic Graph

<sup>۱۴</sup> Precedence

<sup>۱۵</sup> Fraction

# Energy scheduling of fixed-priority parallel real-time tasks in multi-core cyber-physical systems

Jamal Mohammadi<sup>1</sup>, Mehdi Kargahi<sup>2</sup>, Mahmoud Shirazi<sup>3</sup>

<sup>1,2</sup> School of Electrical and Computer Engineering, University of Tehran, Tehran, Iran

<sup>3</sup> Department of Computer Science and Information Technology, Institute for Advanced Studies in Basic Sciences (IASBS), Zanjan, Iran

---

## Abstract

The increasing computational demand of cyber-physical systems necessitates for the use of multi-core systems. Parallel multithreaded tasks is thus crucial in efficient use of such multicore systems, especially when some sort of time restrictions exist for performing the tasks. On the other hand, many cyber-physical systems work in energy-limited situations and they are supplied through energy harvester where they should run successfully within some limited energy budget. This paper proposes an analysis method to find the cyber-physical system behavior with respect to the task energy requirements under fixed-priority scheduling. It then provides a scheduling algorithm which respects the energy constraints and improves the system schedulability. Simulation results show that parallelizing computations leads to better schedulability, especially when the task critical path lengths are less than 40% of their total computation demand.

**Keywords:** Fixed-priority Scheduling, Real-Time Systems, Parallel Tasks, Energy Harvesting.